



بررسی های سنگ نگاری، کانی شناسی و زمین شیمیایی سنگ های آتشفشانی در منطقه گرازی، جنوب غرب خواف، استان خراسان رضوی

فرحناز محمدپور، سید مسعود همام*، مریم جاویدی مقدم

گروه زمین شناسی، دانشکده علوم، دانشگاه فردوسی مشهد، مشهد، ایران

(دریافت مقاله: ۱۴۰۱/۶/۸، نسخه نهایی: ۱۴۰۱/۱۰/۴)

چکیده: منطقه‌ی مورد بررسی در شمال شرق ایران و ۱۰ کیلومتری جنوب غربی شهرستان خواف واقع شده است. این منطقه دارای بروزدهایی از سنگ های رسوبی (کنگلومرا)، آتشفشانی (داسیت، آندزیت، بازالت) و آذرآواری (ایگنبریت) با سن ائوسن پسین است. واحد بازالتی دارای بافت های پورفیری، گلومروپورفیری، شیشه ای، غربالی و بادامکی است. کانی های این واحد شامل پلاژیوکلاز، پیروکسن، هورنبلند و الیوپن هستند. در واحد آندزیتی، بافت های پورفیری با زمینه ریزسنگی، شیشه ای، گلومروپورفیری و غربالی شناسایی شدند. کانی های اصلی آن پلاژیوکلاز، هورنبلند و فلدسپار قلیایی هستند. واحد داسیتی دارای بافت پورفیری بوده و شامل کانی های پلاژیوکلاز و کوارتز و به مقدار کمتر فلدسپار قلیایی است. واحدهای آتشفشانی گرازی ماهیت آهکی قلیایی تا آهکی قلیایی با پتاسیم بالا دارند. غنی شدگی عناصر خاکی نادر سبک (LREE)ها نسبت به عناصر خاکی نادر سنگین (HREE)ها و غنی شدگی عناصر سنگ دوست بزرگ یون (LILE) نسبت به عناصر با شدت میدان بالا (HFSE) شواهد مهمی گویای این هستند که این واحدها در کمر بند ماگمایی پهنه فروانش تشکیل شده اند. با توجه به داده های زمین شیمیایی، سنگ های آتشفشانی از گوشته غنی شده شکل گرفته اند و از بین اجزای فروانشی، دگر نهادی مربوط به رسوب ها، مهمترین نقش را داشته است.

واژه های کلیدی: سنگ نگاری، کانی شناسی، زمین شیمی، گرازی، خواف.

مقدمه

قطعه با گسل های نهپندان در شرق، درونه در شمال، نایبند در غرب و جازموریان در جنوب دربر گرفته شده است [۴]. قطعه لوت به عنوان یک قطعه مقاوم طی حرکت های نزدیک شونده قطعه های هند و اوراسیا دچار چرخش پاد ساعتگرد زیادی شده است [۵].

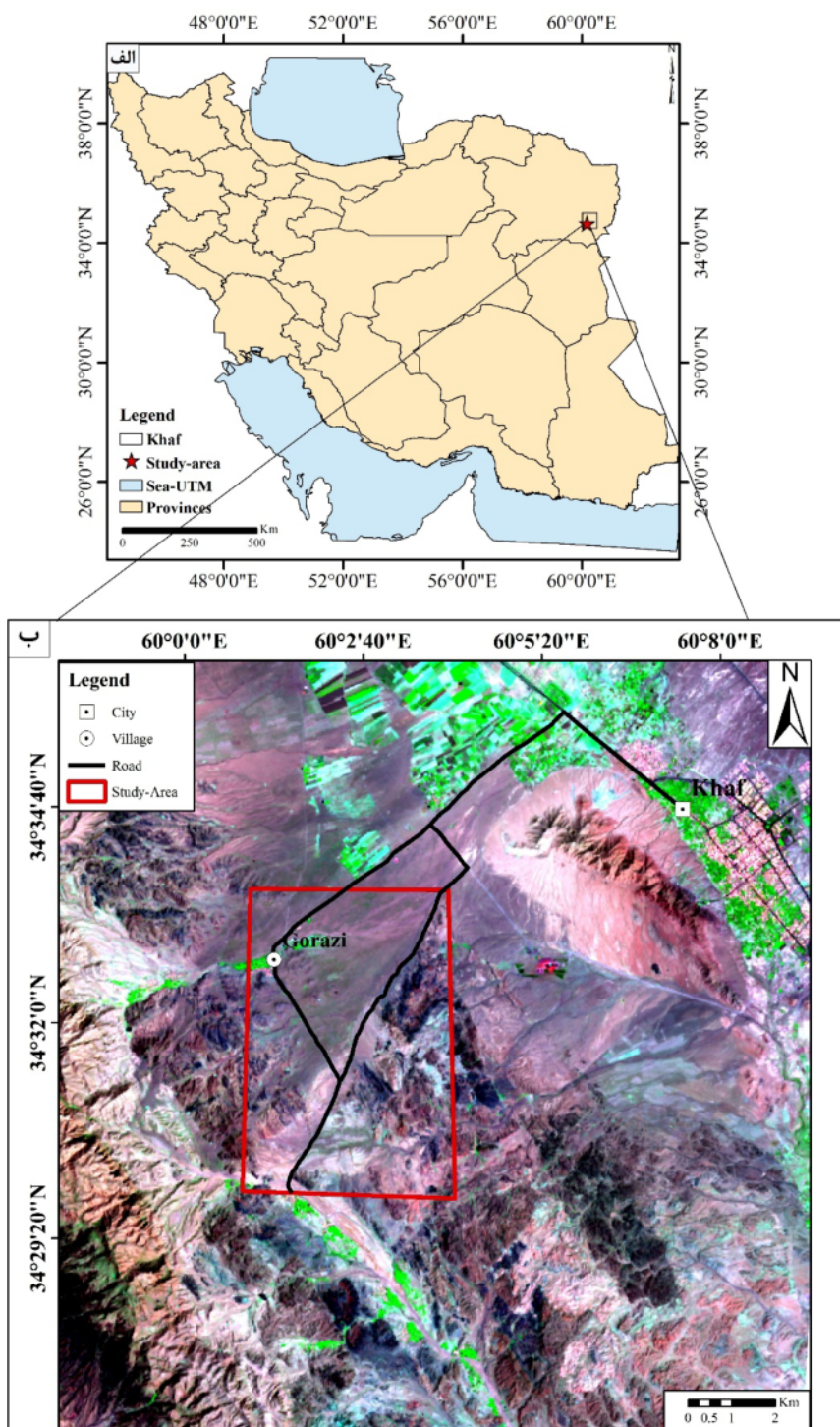
به طور کلی، فعالیت های ماگمایی لوت از ژوراسیک آغاز شده، در کرتاسه نیز وجود داشته و در ترشیری به اوج خود رسیده است، به طوری که سنگ های آتشفشانی ترشیری، به ویژه ائوسن، با ضخامت حدود ۲۰۰۰ متر بیش از نیمی از قطعه را می پوشانند [۶، ۷]. فعالیت ماگمایی لوت شمالی از کرتاسه ی پسین، یعنی بیش از ۷۷ میلیون سال پیش، آغاز شده و ۵ میلیون سال ادامه داشته است [۸]. سنگ های ماگمایی از نوع

منطقه مورد بررسی در شمال شرق ایران و بخش شمالی قطعه لوت واقع است (شکل ۱). این منطقه در فاصله ی ۱۰ کیلومتری جنوب غرب شهرستان خواف در استان خراسان رضوی و نزدیک روستای گرازی است (شکل ۱ ب). وسعت این منطقه حدود ۳۲ کیلومترمربع است و در مرز بین طول های جغرافیایی ۱° ۶۰ تا ۴° ۶۰ و عرض های جغرافیایی ۲۹° ۳۴ تا ۳۳° ۳۴ قرار دارد. قطعه لوت یک قطعه ریزقاره ای است که از لبه ی شمالی گندوانا طی باز شدن نئوتتیس در پرمین رانده شده و سپس طی بسته شدن پالتوتتیس در اواخر تریاس به قاره ی اوراسیا متصل شده است [۱-۳]. قطعه لوت دارای روند شمالی- جنوبی بوده و یکی از ۹ منطقه ساختاری ایران در نظر گرفته شده است. این

*نویسنده مسئول، تلفن: ۰۵۱-۳۸۸۰۵۴۸۰۰، نمابر: ۰۵۱-۳۸۷۹۶۴۱۶، پست الکترونیکی: homam@um.ac.ir

های زمین‌شناسی و زمین‌شیمیایی واحدهای آتشفشانی برای تعیین خاستگاه و جایگاه زمین‌ساختی منطقه گرازی انجام شده‌است. امید است نتایج این پژوهش کمکی هرچند کوچک در شناسایی بهتر فعالیت‌های آتشفشانی در شمال قطعه لوت باشد.

آتشفشانی (بازالت، آندزیت، داسیت و ریولیت) و همچنین مقدار کمتری نفوذی‌های نیمه‌عمیق هستند [۹]. به تازگی پژوهش‌های بسیاری پیرامون توده‌های نفوذی در قطعه لوت انجام شده است [۱۵-۱۰]. همچنین بررسی‌هایی بر سنگ‌های آتشفشانی در این قطعه صورت گرفته‌است [۱۶]. در این پژوهش، بررسی-



شکل ۱ الف) جایگاه جغرافیایی منطقه گرازی در شمال شرق ایران و ب) راه دسترسی به منطقه گرازی.

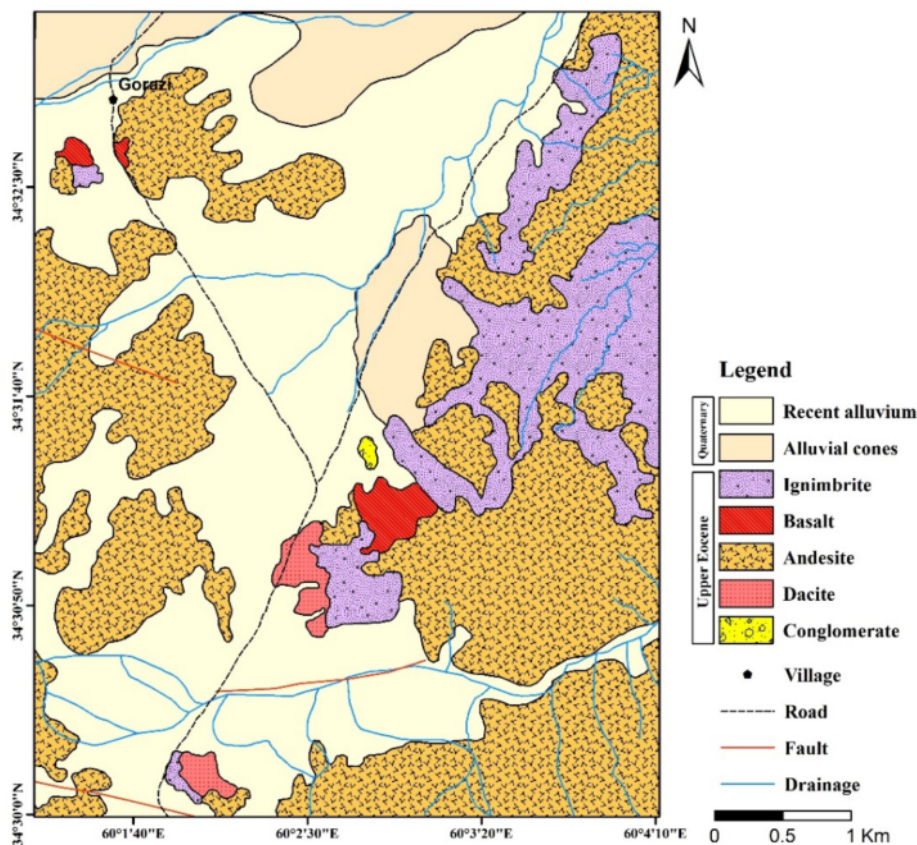
روش بررسی

در راستای تهیه نقشه زمین شناسی از منطقه گرازی، نخست برداشت های صحرایی و نمونه برداری از واحدهای زمین شناسی در منطقه با گستردگی حدود ۳۲ کیلومتر مربع انجام شد. بیش از ۵۰ نمونه از سطح منطقه گردآوری شد و از میان آن ها، ۴۴ نمونه مقطع نازک تهیه و بررسی گردید. نقشه زمین شناسی منطقه برپایه تصاویر سنجنده استرا (مربوط به ماهواره ترا) پردازش شده با نرم افزار Envi در نرم افزار ArcGIS رسم شد پس از بررسی های سنگ نگاری، ۵ نمونه با کمترین دگرسانی و هوازگی برای بررسی های زمین شیمیایی و سنگ زایی انتخاب شدند. نمونه ها پس از خردایش و آماده سازی، برای اندازه گیری اکسیدهای اصلی به روش طیفسنجی فلئورسانس پرتو X (XRF) و عناصر فرعی و خاکی نادر به روش طیفسنجی جرمی پلاسمای جفت شده القایی (ICP-MS) در شرکت کانساران بینالود مشهد تجزیه گردیدند. سپس نمودارهای زمین شیمی مناسب با نرم افزار GCDkit رسم و با نرم افزار CorelDRAW مرتب شدند.

زمین شناسی

منطقه مورد بررسی در غرب نقشه ۱:۲۵۰۰۰۰ تایباد [۱۷] و جنوب غرب برگه ۱:۱۰۰۰۰۰ خواف [۱۸] جای دارد. سن واحدهای سنگی این منطقه اغلب اتوسن پسین است [۱۸]. برپایه بررسی های سنگ نگاری، سنگ های منطقه شامل برونزدهایی از سنگ های رسوبی (کنگلومرا)، آتشفشانی (داسیت، آندزیت، بازالت) و آذرآواری (ایگنمبریت) هستند.

سنگ های آندزیتی و داسیتی بر سنگ های ایگنمبریت قرار دارند. بر پایه بررسی های صحرایی و میکروسکوپی، آندزیت، داسیت و بازالت با بافت های پورفیری، گلوپورفیری و غربالی از سنگ های آتشفشانی این منطقه هستند. واحد بازالتی اغلب در غرب و مرکز منطقه گسترش دارد (شکل های ۲ و ۳ الف) و در رخنمون های سطحی، دارای حفره های گرد تا بادامکی با اندازه ای حدود ۲ تا ۳ میلیمتر است و پرامون حفره ها کربنات دیده می شود. بافت بادامکی نشان دهنده مقدار چشمگیر سیال در ماگماست. کاهش فشار طی بالا آمدن و گرانیروی کم ماگما باعث به هم پیوستن سیال ها در بالای ستون ماگمایی، رویداد فوران و در پایان پیدایش سنگ های حفره دار می شود [۱۹].



شکل ۲ نقشه زمین شناسی منطقه گرازی.



شکل ۳ عکس صحرایی سنگ‌های منطقه: الف) بازالت، ب) آندزیت و پ) داسیت.

ایدنگزیتی شده‌اند هستند. زمینه سنگ از شیشه، پلاژیوکلاز، پیروکسن (از نوع اوژیت) و هورنبلند تشکیل شده است. آندزیت: بافت این سنگ اغلب پورفیری با زمینه‌ی ریزسنگی و شیشه‌ای است. در این سنگ، بافت‌های گلومروپورفیری و غربالی در برخی از بخش‌ها دیده می‌شود. این سنگ‌ها حدود ۲۰ تا ۲۵ درصد درشت بلور دارند و شامل کانی‌های پلاژیوکلاز بصورت شکل‌دار با اندازه تا ۳/۵ میلیمتر (۱۵ تا ۱۷ درصد) و با ماکل چندریخت، هورنبلند با اندازه تا ۱ میلیمتر (۴ تا ۵ درصد)، کلینوپیروکسن با اندازه تا ۰/۸ میلیمتر (۲ تا ۳ درصد) از نوع اوژیت با ماکل کارلسباد (شکل ۴ ب) هستند. زمینه سنگ از پلاژیوکلازهای دانه‌ریز، شیشه، کانی‌های کدر، کلریت (از تجزیه پیروکسن‌ها) و به مقدار کمتر کربنات تشکیل شده است (شکل ۴ پ). در این واحد، پلاژیوکلازها از نوع آندزین هستند و گاه منطقه‌بندی و بافت غربالی در برخی درشت بلور-های پلاژیوکلاز دیده می‌شود که هر دو از نشانه‌های آشکار بافت‌های ناته‌دالی در پلاژیوکلازها هستند. این ناته‌دالی می‌تواند پیامد آمیختگی ماگما و تغییر ترکیب ماگما هنگام تبلور، پیدایش جریان‌های همرفتی و جابه‌جایی بلورها در آشیانه ماگمایی، تغییر فشار بخار آب و همچنین بالا آمدن ماگما و

واحد آندزیتی بیشترین گسترش را نسبت به دیگر واحدهای آتشفشانی در منطقه دارد (شکل‌های ۲ و ۳ ب) و بافت آن پورفیری است. واحد داسیتی بیشتر در مرکز و جنوب منطقه مورد بررسی گسترش دارد و دارای بافت پورفیری است (شکل‌های ۲ و شکل ۳ پ). واحد کنگلومرای رخمون کمی در مرکز منطقه مورد بررسی دارد و بیشتر از قطعه‌های آهکی و شیشه‌های دگرگونی تشکیل شده است. واحد ایگنمبریتی دارای بافت جوش خورده است و حالت نواری از خود نشان داده و به صورت پراکنده در منطقه دیده می‌شود. گفتنی است که در منطقه مورد بررسی هیچ توده عمیق یا نیمه‌عمیق شناسایی نشد.

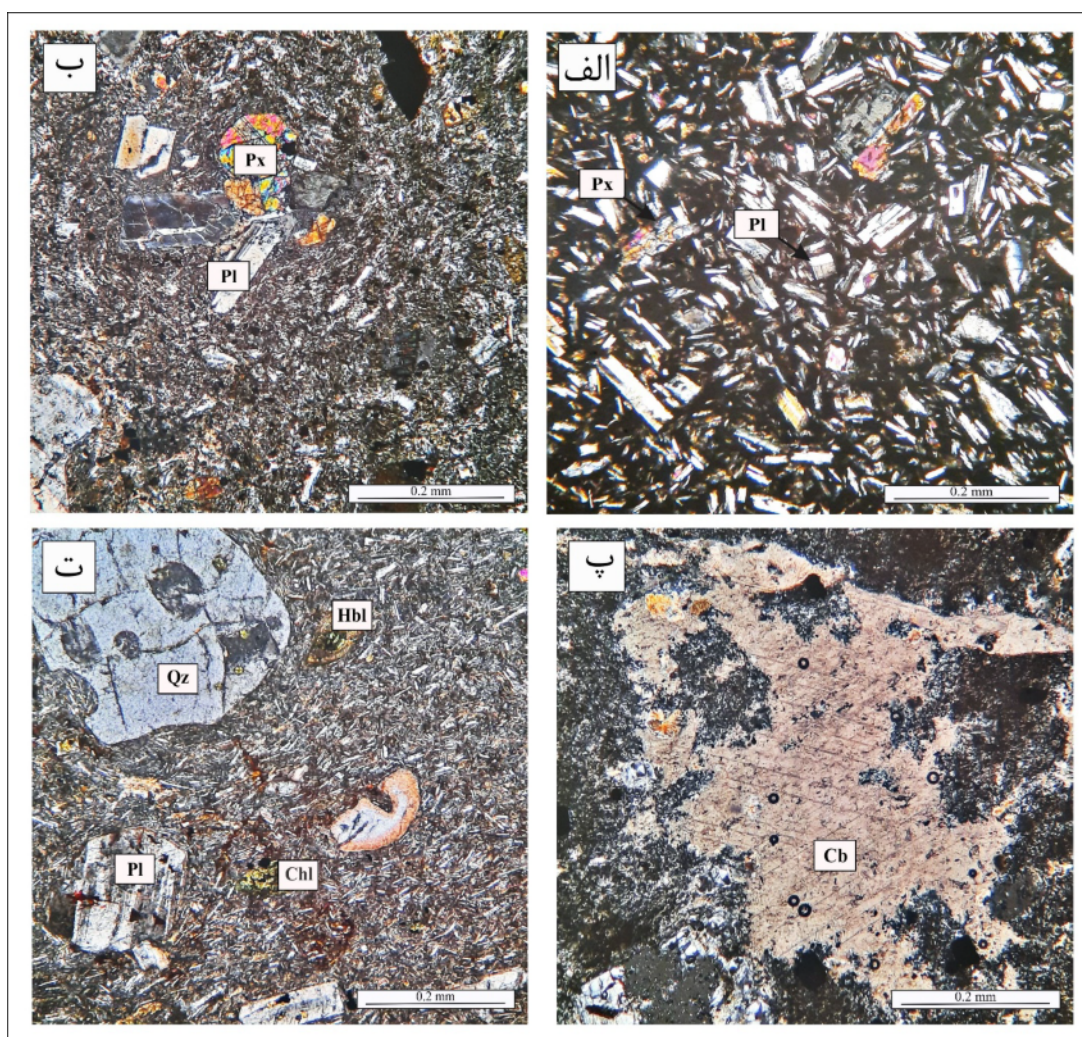
سنگ نگاری

بازالت: بافت این واحد بیشتر پورفیری با زمینه ریزسنگی است. همچنین، بافت‌های گلومروپورفیری، شیشه‌ای، غربالی و بادامکی در برخی بخش‌ها دیده می‌شود. تنها دگرسانی شناسایی شده در این سنگ‌ها کلریتی شدن است. درشت بلور-ها در این واحد ۱۰ تا ۱۵ درصد و شامل پلاژیوکلاز از نوع بیتونیت تا اندازه ۱/۳ میلیمتر (۵-۱۰ درصد) در بعضی بخش‌ها مربعی‌شکل (شکل ۴ الف) و دارای منطقه‌بندی و الیوین تا اندازه‌ی ۰/۸ میلیمتر (۳ تا ۵ درصد) که در برخی بخش‌ها

خوردگی خلیجی، پلاژیوکلاز در اندازه‌های ۰/۲ تا ۲ میلی‌متر (۶ تا ۷ درصد)، فلدسپار قلیایی تا اندازه‌ی ۱ میلی‌متر (۲ تا ۳ درصد)، هورنبلند تا اندازه ۰/۳ میلی‌متر (۱ تا ۲ درصد) و پیروکسن در اندازه‌های ۱/۳ تا ۰/۵ میلی‌متر (۲ تا ۳ درصد) است (شکل ۴ ت). زمینه سنگ دانه‌ریز تا متوسط و دربردارنده‌ی بلورهای ریز پلاژیوکلاز، کوارتز و کانی‌های رسی است. عوامل بازجذب (کاهش فشار، آمیختگی و آلیش) و رشدی (رشد سریع و رشد سلولی) باعث ایجاد لبه خلیجی در کوارتز می‌شود [۲۳]. خوردگی خلیجی گاهی ناشی از واکنش مذاب و بلور طی فرآیند تبلور است [۲۴]. هورنبلندها به شدت دگرسان شده و به مجموعه‌ای از کانی‌های ثانویه چون کلریت، اپیدوت و کانی‌های کدر تبدیل شده‌اند (شکل ۴ ت) و پلاژیوکلازها گاه با کانی‌های رسی جایگزین گردیده‌اند.

کاهش فشار وارد بر آن باشد که همه ناتهادهای بلورها با ماگمای در حال تبلور را در پی دارند [۲۰]. کانی‌های آبدار چون هورنبلند، دارای کناره‌های سوخته هستند (کدر شدن) و از لبه به اکسید آهن تبدیل شده‌اند و بیشتر قالب هورنبلندها به جا مانده است. کدر شدن ناشی از کاهش فشار H_2O طی صعود ماگما و افزایش دما طی آمیختگی ماگمایی است [۲۱]. هورنبلندها با لبه سوخته گاه نشان‌دهنده‌ی واکنش اکسایش هستند که به نبود تعادل این کانی در محیط آبدار و دما بالا بستگی دارد [۲۲]. در بعضی بخش‌ها، کربنات و کلریت جایگزین هورنبلندها شده‌اند.

داسیت: بافت اصلی این واحد پورفیری است. داسیت نزدیک به ۱۵-۲۰ درصد درشت‌بلور دارد که شامل بلورهای نیمه‌شکل‌دار کوارتز در اندازه‌های ۰/۱ تا ۱/۶ میلی‌متر (۴ تا ۵ درصد) با آثار



شکل ۴ تصویرهای میکروسکوپی در نور قطبیده متقاطع (xpl) از الف) بازالت، ب) (پ) سنگ‌های آندزیت و ت) داسیت، Pl: پلاژیوکلاز، Qz: کوارتز، Chl: کلریت، Hbl: هورنبلند، Px: پیروکسن، Cb: کربنات [۲۵].

زمین شیمی

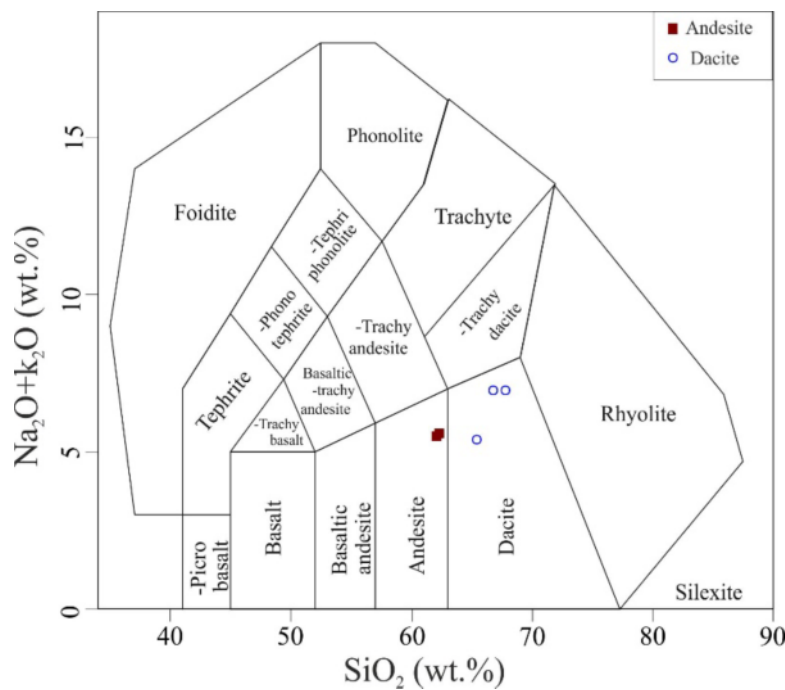
نامگذاری سنگ‌های آتشفشانی

داده‌های تجزیه اکسیدهای اصلی، عناصر فرعی و خاکی نادر برای سنگ‌های با کمترین دگرسانی در منطقه گرازی در جدول ۱ آورده شده‌اند. مقدار SiO_2 در سنگ‌های آتشفشانی منطقه گرازی از ۶۰/۷۲ تا ۶۶/۲۱ درصد وزنی است (جدول ۱). برای نامگذاری این سنگ‌ها نمودار مرجع [۲۶] به کار برده شد.

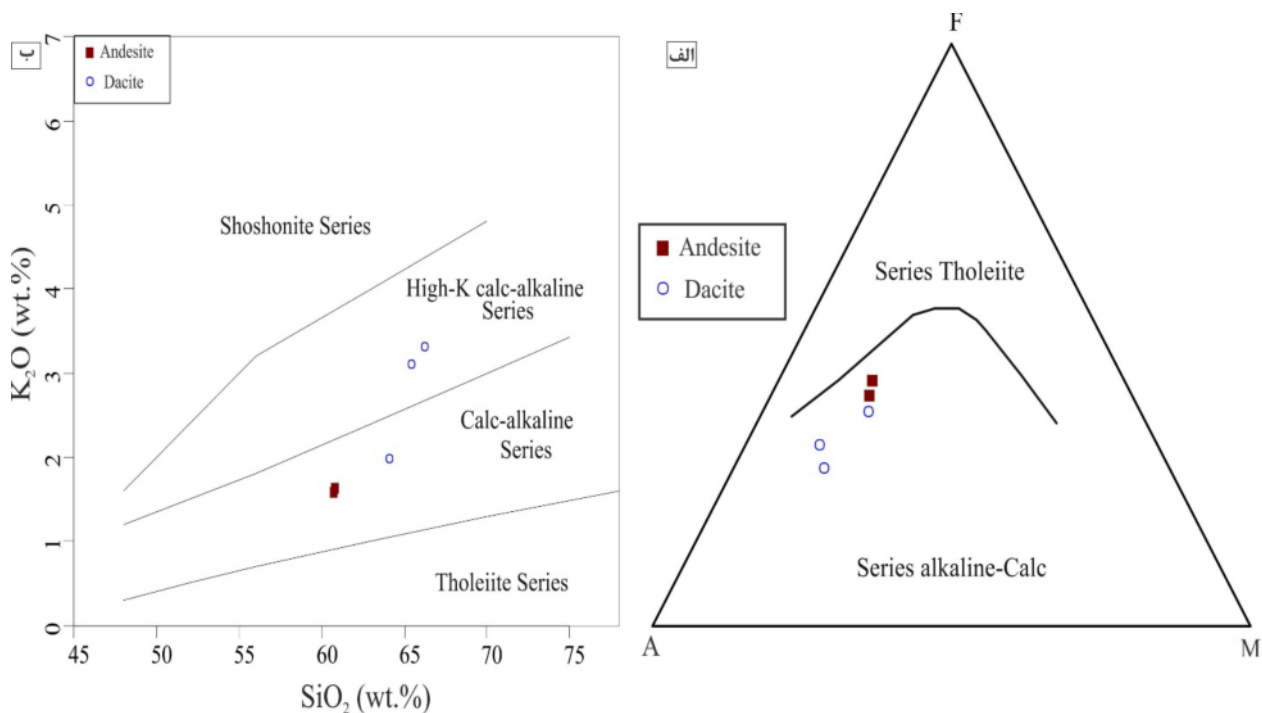
نمونه‌ها در بخش داسیت و آندزیت جای می‌گیرند (شکل ۵). برپایه‌ی نمودار AFM (شکل ۶ الف)، نمونه‌ها در گستره آهکی قلیایی جای دارند. مقدار K_2O سنگ‌های آتشفشانی ۱/۵۸ تا ۳/۳۲ در صد وزنی است (جدول ۱). بر پایه نمودار K_2O نسبت به SiO_2 [۲۷]، بیشتر داسیت‌ها در گستره آهکی قلیایی پتاسیم بالا و آندزیت‌ها در گستره آهکی قلیایی قرار دارند (شکل ۶ ب).

جدول ۱ نتایج تجزیه شیمیایی اکسیدهای اصلی (بر پایه درصد وزنی) و عناصر فرعی (بر پایه ppm) سنگ‌های آتشفشانی منطقه گرازی.

Sample	D۴,۱۵	D۴,۴	D۴,۱۷	P۵	P۳,۴
X	۶۰° ۱'	۶۰° ۱' ۱۵,۱۳"E	۶۰° ۱' ۳۱,۴۰"E	۶۰° ۲' ۴۱,۹۴	۶۰°
Y	۳۴° ۳۲' ۳۹,۴۲"N	۳۴° ۳۲' ۳۶,۱۱"N	۳۴° ۳۲' ۴۱,۲۶"N	۳۴° ۳۱' ۸,۹۹"N	۳۴° ۳۰' ۵۵,۵۵"N
Rock type	Andesite	Dacite	Andesite	Dacite	Dacite
SiO_2	۶۱	۶۴	۶۱	۶۵	۶۶
TiO_2	۱,۲۲	۱,۰۸	۱,۲۴	۰,۶۲	۰,۵۹
Al_2O_3	۱۶	۱۶	۱۶	۱۵	۱۵
Fe_2O_3	۵,۴۱	۴,۷۹	۶	۴,۱۹	۳,۵۹
MnO	۰,۱۳	۰,۱	۰,۱۹	۰,۰۹	۰,۰۹
MgO	۲,۰۱	۲,۰۴	۱,۹۹	۱,۵	۱,۷۷
CaO	۵,۸۹	۴,۸۷	۵,۹۸	۳,۸۹	۳,۳۳
Na_2O	۳,۸۴	۲,۳	۳,۷۵	۳,۷۲	۳,۴۸
K_2O	۱,۵۸	۱,۹۸	۱,۶۳	۳,۱۱	۳,۳۲
P_2O_5	۰,۲۶	۰,۲۲	۰,۲۶	۰,۱۶	۰,۱۶
LOI	۲,۲۳۰	۱,۶۷۰	۱,۷۰۰	۱,۸۰۰	۲,۰۸۰
Total	۹۹,۶۹۰	۹۹,۸۳۰	۹۹,۶۸۰	۹۹,۹۱۰	۹۹,۸۶۰
Sc	۱۰,۷	۱۱,۳	۱۰,۵	۷,۹	۷,۶
V	۸۰,۰	۸۴,۰	۸۹,۰	۴۹,۰	۵۴,۰
Cr	۴۲,۰	۵۸,۰	۴۶,۰	۳۸,۰	۳۱,۰
Co	۰,۴	۰,۸	۰,۴	۰,۳	۰,۵
Ni	۲۰,۰	۱۲,۰	۱۶,۰	۱۳,۰	۱۴,۰
Cu	۱۳,۱	۱۴,۰	۱۳,۰	۹,۳	۹,۹
Zn	۱۱۵,۹	۸۰,۳	۱۲۳,۱	۷۶,۱	۹۱,۲
Ga	—	—	—	—	—
Rb	۱۵۵	۱۶۶	۱۷۴	۱۵۴	۱۴۶
Sr	۳۴۷	۳۵۲	۳۸۲	۳۲۸	۳۱۳
Y	۱۹,۸	۲۰,۰	۲۰,۲	۱۸,۶	۱۸,۷
Zr	۲۱۵,۰	۲۲۶,۰	۲۳۸,۰	۱۴۲,۰	۱۳۴,۰
Nb	۱۳,۷	۷,۸	۱۴,۲	۸,۸	۱۱,۲
Cs	۲,۲۲۰	۲,۲۵۰	۲,۰۷۰	۴,۳۲۰	۴,۳۸۰
Ba	۳۷۳	۴۷۷	۴۳۷	۳۰۸	۳۵۹
Hf	۴۶۱۰	۴,۵۶۰	۴,۵۳۰	۳,۶۴۰	۳,۶۴۰
Ta	۲,۲۹۰	۲,۴۵۰	۲,۰۸۰	۱,۶۶۰	۱,۲۵۰
Pb	۷,۱۲۰	۸,۸۸۰	۱۴,۶۰۰	۱۳,۵۱۰	۹,۲۸۰
Th	۱۰,۴۰۰	۱۰,۶۰۰	۱۰,۲۰۰	۱۴,۳۰۰	۱۴,۶۰۰
U	۱,۹۵۰	۲,۳۱۰	۲,۱۶۰	۳,۵۱۰	۳,۳۳۰
La	۲۹,۱۰۰	۲۹,۷۰۰	۲۷,۵۰۰	۲۸,۰۰۰	۲۷,۷۰۰
Ce	۶۴,۸۰۰	۶۵,۲۰۰	۶۲,۷۰۰	۶۰,۱۰۰	۶۰,۶۰۰
Pr	۶,۸۵۰	۶,۸۶۰	۶,۸۹۰	۶,۴۲۰	۶,۳۵۰
Nd	۲۵,۶۰۰	۲۵,۸۰۰	۲۶,۱۰۰	۲۳,۵۰۰	۲۳,۰۰۰
Sm	۵,۵۹۰	۵,۵۴۰	۵,۵۷۰	۴,۷۲۰	۴,۸۹۰
Eu	۱,۵۸۰	۱,۶۴۰	۱,۶۷۰	۱,۱۲۰	۱,۱۷۰
Gd	۵,۱۷۰	۵,۰۱۰	۴,۹۱۰	۴,۵۰۰	۴,۵۰۰
Tb	۰,۸۵۰	۰,۷۹۰	۰,۸۱۰	۰,۷۷۰	۰,۷۴۰
Dy	۳,۶۹۰	۳,۶۵۰	۳,۴۸۰	۳,۲۱۰	۳,۳۷۰
Ho	۰,۶۳۰	۰,۶۶۰	۰,۶۸۰	۰,۶۱۰	۰,۶۱۰
Er	۲,۲۳۰	۲,۱۸۰	۲,۱۸۰	۲,۰۳۰	۱,۹۴۰
Tm	۰,۳۳۰	۰,۳۶۰	۰,۳۳۰	۰,۳۱۰	۰,۳۲۰
Yb	۱,۷۵۰	۱,۸۰۰	۱,۷۱۰	۱,۵۷۰	۱,۶۷۰
Lu	۰,۲۹۰	۰,۲۷۰	۰,۲۸۰	۰,۲۵۰	۰,۲۶۰
Eu/Eu*	۰,۹۰	۰,۹۵	۰,۹۸	۰,۷۴	۰,۷۶
(La/Yb) _N	۱۱,۲۱	۱۱,۱۲	۱۰,۸۴	۱۲,۰۲	۱۱,۱۸



شکل ۵ نمودار نامگذاری سنگ‌های آتشفشانی [۲۶].



شکل ۶ جایگاه سنگ‌های آتشفشانی منطقه گرازی در: الف) نمودار AFM [۲۷]؛ ب) نمودار بررسی مقدار پتاسیم [۲۸].

نمودارهای عنکبوتی و الگوی فراوانی عناصر خاکی نادر

عناصر خاکی نادر (REE) نسبت به عناصر دیگر کمتر دچار هوازدگی و دگرسانی‌های گرمایی می‌شوند. از این رو، الگوی فراوانی آن‌ها می‌تواند خاستگاه آذرین سنگ‌ها را نشان دهد

[۲۹]. نمودار عنصرهای کمیاب به‌نچار شده نسبت به ترکیب گوشته اولیه در شکل ۷ الف نشان داده شده است. در واقع، ترکیب گوشته اولیه همان ترکیب گوشته پیش از پیدایش پوسته‌ی قاره‌ای است [۲۹]. همه نمونه‌های منطقه گرازی غنی

شدگی از عناصر سنگ دوست بزرگ یون (LILE؛ Cs, Rb, K) نسبت به عناصر با شدت میدان بالا (HFSE؛ Y, Zr, Nb, Ti) را نشان می‌دهند (شکل ۷ الف). غنی شدگی از LILE ها نسبت به HFSE ها نشان‌دهنده ماگمای وابسته به پهنه‌های فرورانش است [۲۹-۳۳] و همچنین به باور مکالوک و گمبل [۳۴]، غنی شدگی LILE ها نسبت به HFSE ها شاید پیامد خروج HFSE ها از گوشته در پی ذوب بخشی پیشین باشد. به باور یو و همکاران [۳۵]، این غنی شدگی نشان‌دهنده پیدایش سنگ‌های آذرین در مرز فعال قاره‌ای است.

در شکل ۷ الف عنصرهای Nb, P, Ti, Ba تهی شدگی و عنصرهای Cs, Th, K, Pb, U و به مقدار کم Zr، غنی شدگی نشان می‌دهند. ادواردز و همکاران [۳۶] بر این باور هستند که تهی شدگی از Ti در فعالیت ماگمایی وابسته به فرورانش و گریزندگی اکسیژن است. ناهنجاری منفی Ti می‌تواند نشان‌دهنده نقش اکسیدهای Fe-Ti بوده [۲۹] و همچنین تهی شدگی Ti شاید پیامد جدایش بلورین کانی‌های آمفیبول دار و یا فازهای Ti دار (چون ایلمنیت) باشد. با وجود این، مقدار تهی شدگی در گروه‌های سنگی پدید آمده در کمان‌های ماگمایی متفاوت است [۳۷]. تهی شدگی فسفر در نمونه‌ها به جدایش آپاتیت از ماگما وابسته است [۳۸]. از آنجا که بی‌هنجاری منفی Nb از ویژگی‌های آشکار سنگ‌های قاره‌ای است، تهی شدگی ماگماهای گوشته‌ای از این عنصر چه بسا پیامد آلودگی این ماگماها با مواد پوسته‌ای طی بالا آمدن و یا جایگزینی و یا غنی شدگی با شاره‌ها در منطقه فرورانش بوده است [۳۹]. لینسون [۲۹] نیز تهی شدگی Nb را نشانگر آلودگی با سنگ‌های پوسته‌ای قاره‌ای و مشارکت پوسته در فرایندهای ماگمایی می‌داند. ناهنجاری منفی عنصر Ba در سنگ‌های آتشفشانی می‌تواند مستقل از درجه اشباع شدگی ماگمای سازنده آن‌ها از سیلیس و مقدار شکل‌گیری آن باشد [۴۰].

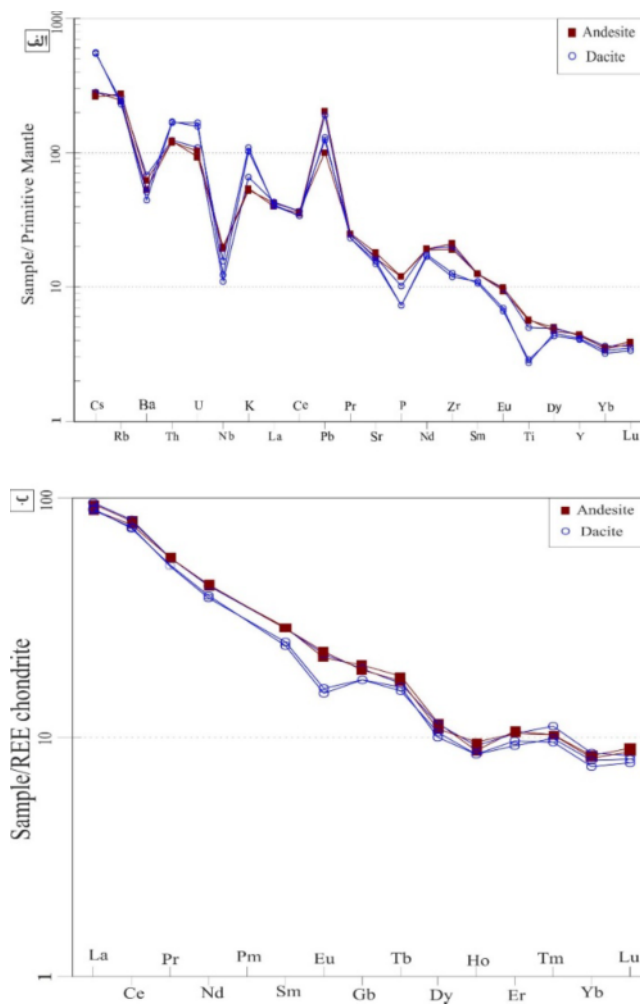
غنی شدگی عناصر Th و U در نمودارهای عنکبوتی می‌تواند نشانگر اضافه شدن رسوب‌های گودابه‌ای و یا پوسته اقیانوسی دگرسان شده به منبع ذوب شدگی باشد [۴۱]. به باور برخی پژوهشگران [۴۲، ۴۳]، غنی شدگی K که در سنگ‌های آتشفشانی منطقه گرازی دیده می‌شود در درجه نخست، شاید پیامد ذوب اولیه‌ی خاستگاه گوشته‌ای با کانی‌های آبدار (چون

فلوگوپیت و آمفیبول) باشد که پیدایش مذاب سرشار از پتاسیم را در پی داشته و در درجه دوم نیز شاید پیامد آلودگی پوسته‌ای بوده است. عنصر Zr نیز کمی غنی شدگی نشان می‌دهد. به باور لینسون [۲۹]، از آنجا که Zr بار الکتریکی بالا و شعاع یونی کمابیش بزرگی دارد به ساختار کانی‌های سنگ‌ساز رایج وارد نشده و در فاز ویژه‌ای (اغلب زیرکن) حضور یافته است. غنی شدگی Cs به دلیل تمرکز بالای این عنصر در پوسته قاره‌ای می‌تواند نشانگر آلودگی ماگما با مواد پوسته‌ای باشد [۴۴]. ناهنجاری مثبت Pb می‌تواند بیانگر دگرته‌های گوشته‌ای توسط سیال‌های برآمده از پوسته اقیانوسی فرورو و یا آلودگی ماگما با پوسته قاره‌ای باشد [۳۷].

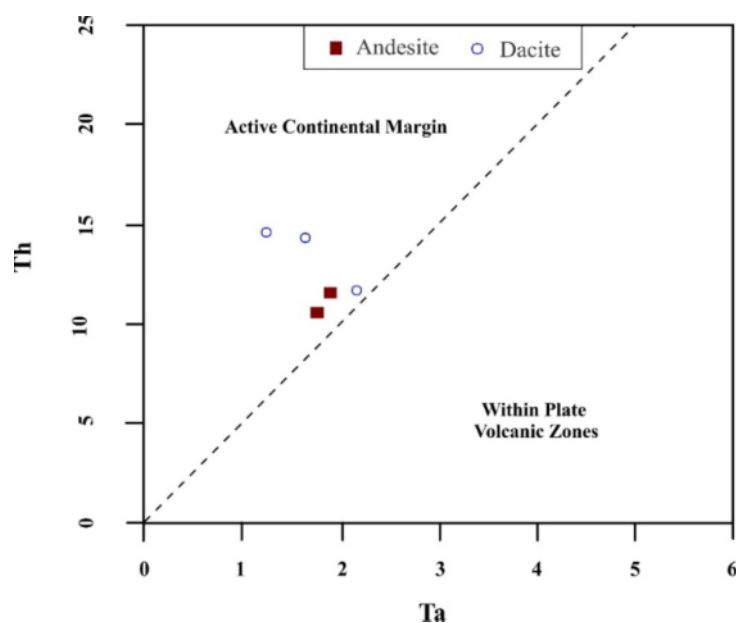
در نمودار عناصر خاکی نادر سنگ‌های آتشفشانی بهنجار شده نسبت به ترکیب کندریت [۴۵]، عناصر خاکی نادر سبک (LREE) نسبت به عناصر خاکی نادر سنگین (HREE) غنی شدگی بیشتری نشان می‌دهند (شکل ۷ ب). روند غنی شدگی از LREE ها نسبت به HREE ها نشان‌دهنده یک ماگمای پدید آمده در پهنه فرورانش است [۲۹-۳۳]. همچنین، غنی شدگی LREE ها نسبت به HREE ها شاید در پی جدایش بلورین کانی هورنبلند یا گارنت دار بودن خاستگاه باشد [۴۶]. سنگ‌های آتشفشانی منطقه گرازی دارای ناهنجاری منفی Eu/Eu^* هستند که این مقدار برای نمونه‌های داسیتی ۰/۷۴ تا ۰/۷۶ و برای نمونه‌های آندزیتی ۰/۹۰ تا ۰/۹۸ است (شکل ۷ ب). بانسس و همکاران [۴۷] بی‌هنجاری منفی ضعیف Eu را پیامد فرایند تبلور بخشی کانی پلاژیوکلاز می‌دانند.

جایگاه زمین‌ساختی و خاستگاه

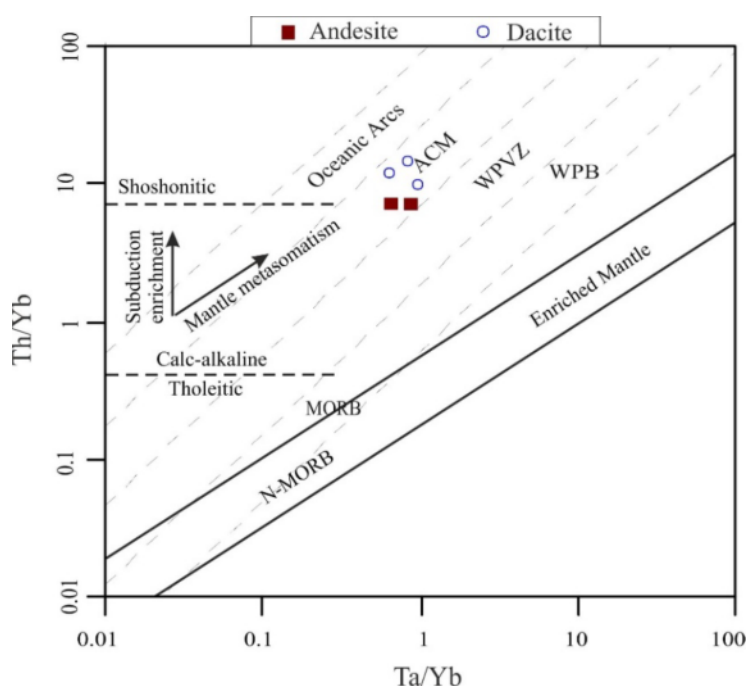
برای شناسایی جایگاه زمین‌ساختی سنگ‌های آتشفشانی منطقه گرازی، از نمودارهای Th نسبت به Ta (شکل ۸) و Th/Yb نسبت به Ta/Yb (شکل ۹) [۴۸] استفاده گردید. بر این اساس، سنگ‌های آتشفشانی در گستره کرانه فعال قاره‌ای (ACM) و بیشتر نمونه‌های گرازی در گستره آهکی قلیایی تا شوشونیتی جای دارند و از روند گوشته دگرته‌ای شده پیروی می‌کنند. نسبت بالای Th/Yb به احتمال بسیار ویژگی خاستگاهی است که در پی غنی شدگی فرورانش و یا غنی شدگی وابسته به آلودگی پوسته، یا هر دو فرآیند، دچار دگرته‌ای شده‌است [۴۹].



شکل ۷ سنگ های آتشفشانی منطقه گرازی بر روی الف) نمودار عناصر کمیاب بهنجارشده نسبت به ترکیب گوشته اولیه [۳۹]؛ ب) نمودار عناصر خاکی نادر بهنجارشده نسبت به ترکیب کندریت [۴۵].



شکل ۸ نمودار Th نسبت به Ta [۴۸].



شکل ۹ جایگاه زمین‌ساختی منطقه گرازی بر روی نمودار Th/Yb نسبت به Ta/Yb [۴۸] Oceanic Arc: کمان اقیانوسی؛ ACM: کرانه فعال قاره‌ای؛ WPB: مناطق آتشفشانی درون صفحه‌ای، WPCZ: بازالت‌های درون صفحه‌ای و MORB: بازالت پشته میان اقیانوسی).

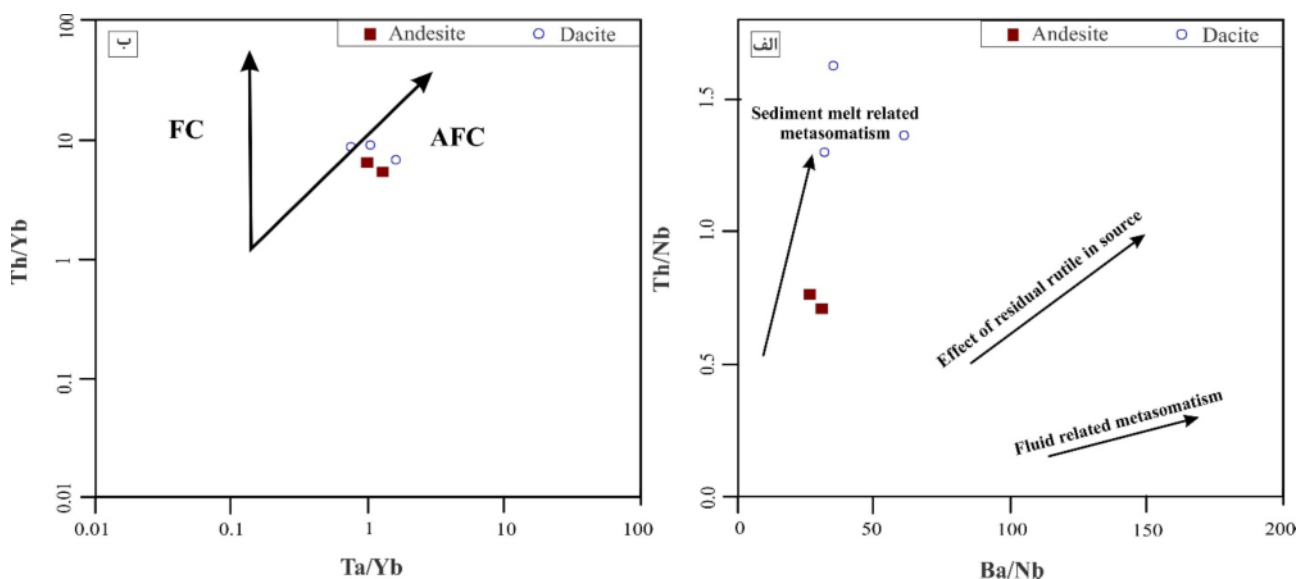
بلورین همراه با هضم (AFC) یا جدایش بلورین (FC) در دگرگونی سنگ‌های ماگمایی منطقه گرازی، از نمودار Ta/Yb نسبت به Th/Yb (شکل ۱۰ ب) استفاده شد. با توجه به قرارگیری نمونه‌ها موازی با روند AFC در این نمودار، جدایش بلورین و آلاش مهم‌ترین فرایندهای موثر در پیدایش سنگ‌های منطقه گرازی هستند.

برداشت

واحدهای آتشفشانی داسیت، آندزیت و بازالت بیشترین گسترش را در منطقه گرازی دارند. غنی شدگی LREEها نسبت به HREEها و غنی شدگی LILEها (Sr, Ba, Rb) و نسبت به HFSEها (Ti, Nb) شواهد مهمی هستند که این واحدها در کمربند ماگمایی پهنه فروانش تشکیل شده‌اند. این آتشفشانی‌های وابسته به کرانه قاره‌ای فعال هستند و ماگمای مادر آنها در اثر ذوب بخشی خاستگاه گوشته غنی شده شکل گرفته است. با توجه به ویژگی‌های زمین شیمیایی، می‌توان چنین گفت که در خاستگاه نمونه‌های بررسی شده از بین اجزای فروانسی، دگرتهادی در ارتباط با رسوب‌های فرورونده، بیشترین نقش را داشته‌اند.

برای شناسایی گوهی گوشته‌ای، پوسته فرورونده و رسوب‌ها از هم، براساس نسبت‌های عناصر نادر $Ta/Yb-Th/Yb$ ، دو نکته در نظر گرفته می‌شود [۳۲]؛ نخست با جای دادن Yb در مخرج کسر، برای هر دو محور عمودی و افقی نمودار، آثار ذوب بخشی و تبلور بخشی در پیدایش ماگما به کمترین می‌رسد. در مرحله دوم، با به کارگیری دو عنصر بسیار ناسازگار در صورت کسر، برای هر دو محور عمودی و افقی نمودار، می‌توان درباره وابستگی سنگ‌های آتشفشانی مورد بررسی به گوشته غنی شده و یا گوشته تهی شده، به یافته‌های خوبی دست یافت [۵۰]. بر این اساس ماگمای مادر سنگ‌های آتشفشانی منطقه گرازی به گوشته غنی شده وابسته است.

LREEها چون Ce, La, Nd, Pr و Th در سیال‌ها تحرک‌پذیری پسین ندارند، اما رسوب‌ها از این عناصر غنی شده هستند [۵۱]. براساس نمودارهای رسم شده، می‌توان چنین برداشت کرد که در خاستگاه نمونه‌های مورد بررسی، از میان اجزای فروانسی، دگرتهادی وابسته به رسوب‌های فرورونده بیشترین نقش را دارد و نمونه‌ها در راستای این روند جای گرفته‌اند (شکل ۱۰ الف). برای بررسی نقش فرایند جدایش



شکل ۱۰ الف) نمودار Th/Nb نسبت به Ba/Nb [۵۲] و ب) نمودار Th/Yb نسبت به Ta/Yb [۳۲] برای سنگ های آتشفشانی منطقه گرازی (شرق ایران) (AFC: جدایش بلورین همراه با هضم و FC: جدایش بلورین).

قدردانی

این پژوهش با حمایت مالی دانشگاه فردوسی مشهد در ارتباط با طرح شماره ۵۴۱۰۷/۳ مورخ ۱۳۹۹/۱۲/۱۶ انجام شده است. از آقای مهندس وحید تیزهوش که در بخش عملیات صحرایی ما را یاری نمودند صمیمانه سپاسگزاریم.

مراجع

- [5] Bagheri S., Stampfli G.M., "The Anarak, Jandaq and Posht-e-Badam metamorphic complexes in central Iran: new geological data, relationships and tectonic implications", *Tectonophysics* 451.1-4 (2008) 123-155.
- [6] Pang K.N., Chung S.L., Zarrinkoub M.H., Khatib M.M., Mohammadi S.S., Chiu H.Y., Chu C.H., Lee H.Y., Lo C.H., "Eocene–Oligocene post-collisional magmatism in the Lut–Sistan region, eastern Iran: Magma genesis and tectonic implications", *Lithos* 180 (2013): 234-251.
- [7] Karimpour M.H., Malekzadeh Shafaroudi A., Mazaheri S.A., Heydarian Shahri M.R., "Magmatism and types of copper, gold, tin and tungsten mineralization in Lut block", collection Proceedings of the 15th Conference of Crystallography and Mineralogy Society of Iran, Ferdowsi University of Mashhad, (2007) 598-604.
- [8] Aghanabati A., "The Geology of Iran", Geological Survey of Iran (2004).
- [9] Emami M., "Magmatism in Iran. Geological Survey and Mineral Exploration of Iran", number 71, 622 pp (2000).
- [10] Javidi Moghaddam M., Karimpour M.H., Shafaroudi A.M., Santos J.F., Mendes M.H.,

- [1] Şengör A.M.C., "A new model for the late Palaeozoic–Mesozoic tectonic evolution of Iran and implications for Oman", *Geological Society, London, Special Publications* 49.1 (1990) 797-831.
- [2] Alavi M., "Tectonostratigraphic synthesis and structural style of the Alborz mountain system in northern Iran", *Journal of Geodynamics* 21.1 (1996) 1-33.
- [3] Golonka J., "Plate tectonic evolution of the southern margin of Eurasia in the Mesozoic and Cenozoic", *Tectonophysics* 381.1-4 (2004) 235-273.
- [4] Berberian M., King G. C. P., "Towards a paleogeography and tectonic evolution of Iran", *Canadian journal of earth sciences* 18.2 (1981) 210-265.

- [18] Alavi Naini M., "Geological map 1:100000 of Khaf, Geological Survey and Mineral Exploration of Iran", (1979).
- [19] Barker D. S., "Igneous rocks. Prentice Hall, Upper Saddle River, New Jersey", (1983).
- [20] Ghasemi H., Jamshidi K., "Investigating the characteristics of the source origin of alkaline rocks at the base of the Shemshak Formation in the eastern Alborz(in Persian)", Iranian Journal of Geology 7(29) (2013) 17-29.
- [21] Kawabata H., Shuto K., "Magma mixing recorded in intermediate rocks associated with high-Mg andesites from the Setouchi volcanic belt, Japan: implications for Archean TTG formation", Journal of Volcanology and Geothermal Research 140.4 (2005) 241-271.
- [22] Roozbahani L., Arvin M., "Petrography, geochemistry and petrogenesis of rhyolitic and andesitic rocks of Nasir-Abad area, SW of Rayen, Kerman", Iranian Journal of Petrology 1.2 (2010) 1-16.
- [23] Chang Z., Meinert L.D., "The magmatic-hydrothermal transition—evidence from quartz phenocryst textures and endoskarn abundance in Cu–Zn skarns at the Empire Mine, Idaho, USA", Chemical Geology 210.1-4 (2004) 149-171.
- [24] Pankhurst KG Cox JD Bell RJ. "The interpretation of igneous rocks George Allen and Unwin London", (1979) 570p.
- [25] Whitney D.L., Evans B.W., "Abbreviations for names of rock-forming minerals", American mineralogist 95.1 (2010) 185-187.
- [26] Middlemost E.A., "Naming materials in the magma/igneous rock system", Earth-science reviews 37.3-4 (1994) 215-224.
- [27] Irvine T. N., Baragar W. R. A., "Aguide to the chemical classification of the common volcanic rocks ", Can. J. Earth. Sci., 8 (1971) 523-548.
- [28] Peccerillo A., Taylor S.R., "Geochemistry of Eocene calc-alkaline volcanic rocks from the Kastamonu area, northern Turkey", Contributions to mineralogy and petrology 58.1 (1976) 63-81.
- "Geochemistry, Sr-Nd isotopes and zircon U-Pb geochronology of intrusive rocks: Constraint on the genesis of the Cheshmeh Khuri Cu mineralization and its link with granitoids in the Lut Block, Eastern Iran", Journal of Geochemical Exploration 202 (2019) 59-76.
- [11] Javidi Moghaddam M., Karimpour M.H., Malekzadeh Shafaroudi A., Santos J.F., Corfu F., "Middle Eocene magmatism in the Khur region (Lut Block, Eastern Iran): implications for petrogenesis and tectonic setting", International Geology Review 63, no. 9 (2021) 1051-1066.
- [12] Beydokhti R.M., Karimpour M.H., Mazaheri S.A., Santos J.F., Klötzli U., "U–Pb zircon geochronology, Sr–Nd geochemistry, petrogenesis and tectonic setting of Mahoor granitoid rocks (Lut Block, Eastern Iran)", Journal of Asian Earth Sciences 111 (2015) 192-205.
- [13] Arjmandzadeh R., J. F. Santos, "Sr–Nd isotope geochemistry and tectonomagmatic setting of the Dehsalm Cu–Mo porphyry mineralizing intrusives from Lut Block, eastern Iran", International Journal of Earth Sciences 103.1 (2014) 123-140.
- [14] Abdi M., Karimpour M.H., "Petrochemical Characteristics and Timing of Middle Eocene Granitic Magmatism in Kooch-Shah, Lut Block, Eastern Iran", Acta Geologica Sinica-English Edition 87.4 (2013) 1032-1044.
- [15] Samiee S., Karimpour M.H., Ghaderi M., Shahri M.R.H., Klötzli U., Santos J.F., "Petrogenesis of subvolcanic rocks from the Khunik prospecting area, south of Birjand, Iran: Geochemical, Sr–Nd isotopic and U–Pb zircon constraints", Journal of Asian Earth Sciences 115 (2016) 170-182.
- [16] Tarkian M., Lotfi M., Baumann A., "Tectonic, magmatism and the formation of mineral deposits in the central Lut, east Iran", (1983) 357-383.
- [17] Alavi-Naini M., "Geological map 1:250,000 of Taibad, Geological Survey and Mineral Exploration of Iran", (1982).

- [39] Sun S.S., McDonough W.F., "Chemical and isotopic systematics of oceanic basalts: implications for mantle composition and processes", *Geological Society, London, Special Publications* 42.1 (1989) 313-345.
- [40] Avanzinelli R., Elliott T., Tommasini S., Conticelli S., "Constraints on the genesis of potassium-rich Italian volcanic rocks from U/Th disequilibrium", *Journal of Petrology* 49.2 (2008) 195-223.
- [41] Fan W.M., Guo F., Wang Y.J., Lin G., "Late Mesozoic calc-alkaline volcanism of post-orogenic extension in the northern Da Hinggan Mountains, northeastern China", *Journal of volcanology and geothermal research* 121.1-2 (2003) 115-135.
- [42] Foley S., "Petrological characterization of the source components of potassic magmas: geochemical and experimental constraints", *Lithos* 28.3-6 (1992) 187-204.
- [43] Zheng Y., Chen R., Xu Z., Zhang S., "The transport of water in subduction zones", *Science China Earth Sciences* 59, no. 4 (2016) 651-682.
- [44] Wang Q., McDermott F., Xu J.F., Bellon H., Zhu Y.T., "Cenozoic K-rich adakitic volcanic rocks in the Hohxil area, northern Tibet: lower-crustal melting in an intracontinental setting", *Geology* 33. 6 (2005) 465-468.
- [45] Boynton W.V., "Cosmochemistry of the rare earth elements: meteorite studies", *Developments in geochemistry*. Vol. 2. Elsevier, (1984) 63-114.
- [46] Jahangiri Ahmad, "Post-collisional Miocene adakitic volcanism in NW Iran: geochemical and geodynamic implications", *Journal of Asian Earth Sciences* 30.3-4 (2007) 433-447.
- [47] Barnes S.J., van Achterbergh E., Makovicky E., Li C., "Proton microprobe results for the partitioning of platinum-group elements between monosulphide solid solution and sulphide liquid", *South African Journal of Geology* 104.4 (2001) 275-286.
- [48] Schandl E. S., Gorton M. P., "Application of high field strength elements to discriminate tectonic settings in VMS environments", *Economic Geology*, 97(2002) 629-642.
- [29] Rollinson H., "Using geochemical data", Evaluation, presentation, interpretation 1 (1993).
- [30] Caffè P.J., Trumbull R.B., Siebel W., "Petrology of the Coyaguayma ignimbrite, northern Puna of Argentina: Origin and evolution of a peraluminous high-SiO₂ rhyolite magma", *Lithos* 134 (2012) 179-200.
- [31] Gill J. B., "Orogenic andesites and plate tectonics. Springer, New York ", (1981).
- [32] Pearce J.A., "Role of the sub-continental lithosphere in magma genesis at active continental margins", (1983) 230-249.
- [33] Wilson M. ed., "Igneous petrogenesis. Dordrecht: Springer Netherlands", (1989).
- [34] McCulloch M.T., Gamble J.A., "Geochemical and geodynamical constraints on subduction zone magmatism", *Earth and Planetary Science Letters* 102.3-4 (1991) 358-374.
- [35] Yu Q., Ge W.C., Zhang J., Zhao G.C., Zhang Y.L., Yang H., "Geochronology, petrogenesis and tectonic implication of Late Paleozoic volcanic rocks from the Dashizhai Formation in Inner Mongolia, NE China", *Gondwana Research* 43 (2017) 164-177.
- [36] EDWARDS C.M., MENZIES M.A., THIRLWALL M.F., MORRIS J.D., LEEMAN W.P., HARMON R.S., "The transition to potassic alkaline volcanism in Island Arcs: the Ringgit-Beser complex, East Java, Indonesia", *Journal of Petrology* 35.6 (1994) 1557-1595.
- [37] Kamber B.S., Ewart A., Collerson K.D., Bruce M.C., McDonald G.D., "Fluid-mobile trace element constraints on the role of slab melting and implications for Archaean crustal growth models", *Contributions to Mineralogy and Petrology* 144.1 (2002) 38-56.
- [38] Wu F.Y., Jahn B.M., Wilde S.A., Lo C.H., Yui T.F., Lin Q., Ge W. C., Sun D. Y., "Highly fractionated I-type granites in China (I): geochronology and petrogenesis", *Lithos* 66 (3-4) (2003) 241-273.

- [51] Elliott T., Plank T., Zindler A., White W., Bourdon B., "*Element transport from slab to volcanic front at the Mariana arc*", Journal of Geophysical Research: Solid Earth 102, no. B7 (1997) 14991-15019.
- [52] Ersoy E.Y., Helvacı C., Palmer M.R., "*Mantle source characteristics and melting models for the early-middle Miocene mafic volcanism in Western Anatolia: implications for enrichment processes of mantle lithosphere and origin of K-rich volcanism in post-collisional settings*", Journal of Volcanology and Geothermal Research 198, no. 1-2 (2010) 112-128.
- [49] Gencalioglu Kusu G., Geneli F., "*Review of post-collisional volcanism in the Central Anatolian Volcanic Province (Turkey), with special reference to the Tepekoy Volcanic Complex*", International Journal of Earth Sciences 99, no. 3 (2010) 593-621.
- [50] Zarasvandi A., Pourkaseb H., Saki A., Karevani M., "*Investigation of petrology and geochemistry of volcanic rocks in the Kasian area, northeast of Khorramabad*." Iranian Journal of Petrology 4, no. 14 (2013)49-64.